

บทที่ 4

ผลการทดลอง

1. ตรวจหาแอนติบอดีต่อ EBV associated antigens ในเซลล์ B₉₅₋₈ โดยวิธี indirect immunofluorescence ในผู้ป่วยมะเร็งและคนปกติ

1.1 ทำการตรวจหาแอนติบอดีชนิด Ig G ต่อ EBV associated antigens ในผู้ป่วย NPC 40 ราย, ลิมฟ์โนมา 30 ราย, มะเร็งบริเวณลำคอและใบหน้า 50 ราย, มะเร็งปอด 40 ราย, มะเร็งตับ 40 ราย, มะเร็งบริเวณอื่น ๆ ของร่างกาย 50 ราย, และคนปกติ 50 ราย

พบว่าผู้ป่วยทุกกลุ่มและคนปกติทุกรายมีแอนติบอดีชนิด Ig G ต่อ EBV associated antigens ในระดับต่างกัน (ตารางที่ 2)

1.2 ทำการตรวจหาแอนติบอดีชนิด Ig A ต่อ EBV associated antigens ในผู้ป่วยมะเร็งและคนปกติ ซึ่งเป็นกลุ่มเดียวกันกับกลุ่มที่ตรวจหาแอนติบอดีชนิด Ig G ในข้อ 1.1 มาแล้ว

พบว่าเฉพาะผู้ป่วย NPC และลิมฟ์โนมา เท่านั้นที่ตรวจพบแอนติบอดีชนิด Ig A ต่อ EBV associated antigens โดยพบว่าผู้ป่วย NPC มีแอนติบอดีชนิด Ig A ต่อ EBV associated antigens 82.5% และพบในระดับต่าง ๆ กัน ส่วนผู้ป่วยลิมฟ์โนมา พบว่ามีแอนติบอดีชนิด Ig A ต่อ EBV associated antigens 36.6% และพบในระดับต่าง ๆ กันเช่นเดียวกัน สำหรับผู้ป่วยมะเร็งกลุ่มอื่น ๆ รวมทั้งคนปกติตรวจไม่พบแอนติบอดีชนิด Ig A เลย (ตารางที่ 3)

1.3 ลักษณะ fluorescent positive cells จากการใช้เซลล์ B₉₅₋₈ (รูปที่ 5) เป็น source ของ EBV associated antigens ในการตรวจหาแอนติบอดีชนิด Ig G และ Ig A ต่อ EBV associated antigens โดยวิธี indirect immunofluorescence นี้ใช้ไก่ goat anti-human Ig G (heavy chain specific) fluorescein conjugated สำหรับหาแอนติบอดีชนิด Ig G และใช้

goat anti-human Ig A (heavy chain specific) fluorescein conjugated สำหรับหาแอนติบอดี้ชนิด Ig A จากการถูกวิว fluorescent microscope พบว่า fluorescent positive cell จะติดสี fluorescent เห็นเรืองแสงสีเขียว สำหรับการติดสีนั้น บางเซลล์ติดสีที่ nucleus และติดสีทั่วไปใน cytoplasm (รูปที่ 6) แต่ส่วนใหญ่เซลล์จะติดสีทั่วไปในเซลล์ (รูปที่ 7)

2. ศึกษาความสัมพันธ์ระหว่างระดับของแอนติบอดี้ชนิด Ig G กับระดับแอนติบอดี้ชนิด Ig A ต่อ EBV associated antigens ในผู้ป่วยมะเร็ง

ความสัมพันธ์ระหว่างระดับของแอนติบอดี้ชนิด Ig G และระดับของแอนติบอดี้ชนิด Ig A ต่อ EBV antigens ในผู้ป่วย NPC และลิมป์โ凤มา ได้แสดงให้เห็นในรูปที่ 8 ว่า เห็นได้ว่าผู้ป่วย NPC และลิมป์โ凤มาบางรายที่มีแอนติบอดี้ชนิด Ig A สูง จะมีแอนติบอดี้ชนิด Ig G สูงกว่าเช่นกัน เช่นในผู้ป่วย NPC 1 ราย พบร่วมแอนติบอดี้ชนิด Ig A เท่ากับ 1:640 และมีแอนติบอดี้ชนิด Ig G เท่ากับ 1:1280 และผู้ป่วยลิมป์โ凤มา 1 ราย มีแอนติบอดี้ชนิด Ig A เท่ากับ 1:320 และมีแอนติบอดี้ชนิด Ig G เท่ากับ 1:640 เป็นต้น แต่เมื่อผู้ป่วย NPC และลิมป์โ凤มาบางรายพบว่ามีแอนติบอดี้ชนิด Ig G สูง แต่ตรวจไม่พบแอนติบอดี้ชนิด Ig A และเมื่อถูกความสัมพันธ์ระหว่างระดับของแอนติบอดี้ชนิด Ig G และ Ig A ต่อ EBV associated antigens ในผู้ป่วย NPC พบร่วมค่า correlation coefficient เท่ากับ 0.88 คือมีความสัมพันธ์กันแน่ในสมบูรณ์เลย ที่เดียว เมื่อถูกความสัมพันธ์ระหว่างระดับแอนติบอดี้ชนิด Ig G และ Ig A ในผู้ป่วย ลิมป์โ凤มาพบว่ามีค่า correlation coefficient เท่ากับ 0.84

ส่วนผู้ป่วยมะเร็งกลุ่มอื่น ๆ แม้ว่าจะพบว่าระดับแอนติบอดี้ชนิด Ig G ต่อ EBV associated antigens จะสูงกว่าตาม แต่ก็ไม่สามารถตรวจพบแอนติบอดี้ชนิด Ig A ต่อ EBV associated antigens เลย (รูปที่ 8)

3. ศึกษาความสัมพันธ์ระหว่างระดับแอนติบอดี้กับระยะของโรค NPC

3.1 ศึกษาความสัมพันธ์ระหว่างระดับแอนติบอดี้ชนิด Ig A ต่อ EBV associated antigens ในผู้ป่วย NPC กับระยะของโรค จากการศึกษาผู้ป่วย NPC 26 ราย พบร่วมกับ NPC ระยะที่ I มี 2 ราย, ระยะที่ II มี 9 ราย, ระยะที่ III

มี 13 ราย และระยะที่ IV มี 2 ราย เห็นได้ว่าผู้ป่วย NPC ระยะที่ I และระยะที่ II มีระดับแอนติบอดี้ชนิด Ig A สูง ไม่นำกันกับเมื่อเปรียบเทียบกับผู้ป่วย NPC ระยะที่ III และระยะที่ IV และผู้ป่วย NPC ระยะที่ IV ซึ่งเป็นระยะสุดท้ายของโรคจะพบแอนติบอดี้ชนิด Ig A ในระดับสูงมาก (รูปที่ 9, ตารางที่ 4)

3.2 ศึกษาความสัมพันธ์ระหว่างระดับแอนติบอดี้ชนิด Ig G ต่อ EBV associated antigens ในผู้ป่วย NPC กับระยะของโรค จากการศึกษาผู้ป่วย NPC 26 ราย ซึ่งเป็นผู้ป่วยกลุ่มเดียวกันกับที่ศึกษาในข้อ 3.1 เห็นได้ว่าผู้ป่วย NPC ทุกราย มีระดับแอนติบอดี้ชนิด Ig G สูง โดยเฉพาะผู้ป่วย NPC ระยะที่ IV พนวาระดับแอนติบอดี้ชนิด Ig G สูงมาก (รูปที่ 10, ตารางที่ 5)

4. ศึกษาความสัมพันธ์ระหว่างระดับแอนติบอดี้กับ histological types ของ NPC ในผู้ป่วย NPC

4.1 ศึกษาความสัมพันธ์ระหว่างระดับแอนติบอดี้ชนิด Ig A ต่อ EBV associated antigens กับ histological types ของ NPC ในผู้ป่วย NPC จากการศึกษาผู้ป่วย NPC 26 ราย พนวามีผู้ป่วยชนิด poorly differentiated cell carcinoma 16 ราย ชนิด undifferentiated cell carcinoma 10 ราย ส่วนชนิด well differentiated cell carcinoma ในมีเลย ระดับแอนติบอดี้ชนิด Ig A ในผู้ป่วย NPC ทั้ง 2 ชนิดพบว่าสูงกว่าเดิมเท่ากัน (รูปที่ 11, ตารางที่ 6)

4.2 ศึกษาความสัมพันธ์ระหว่างระดับแอนติบอดี้ชนิด Ig G ต่อ EBV associated antigens กับ histological types ในผู้ป่วย NPC จากการศึกษาผู้ป่วย NPC 26 ราย ซึ่งเป็นผู้ป่วย NPC กลุ่มเดียวกับที่ศึกษาในข้อ 4.1 เห็นได้ว่าผู้ป่วย NPC ทุกรายมีระดับแอนติบอดี้ชนิด Ig G สูง (รูปที่ 12, ตารางที่ 7)

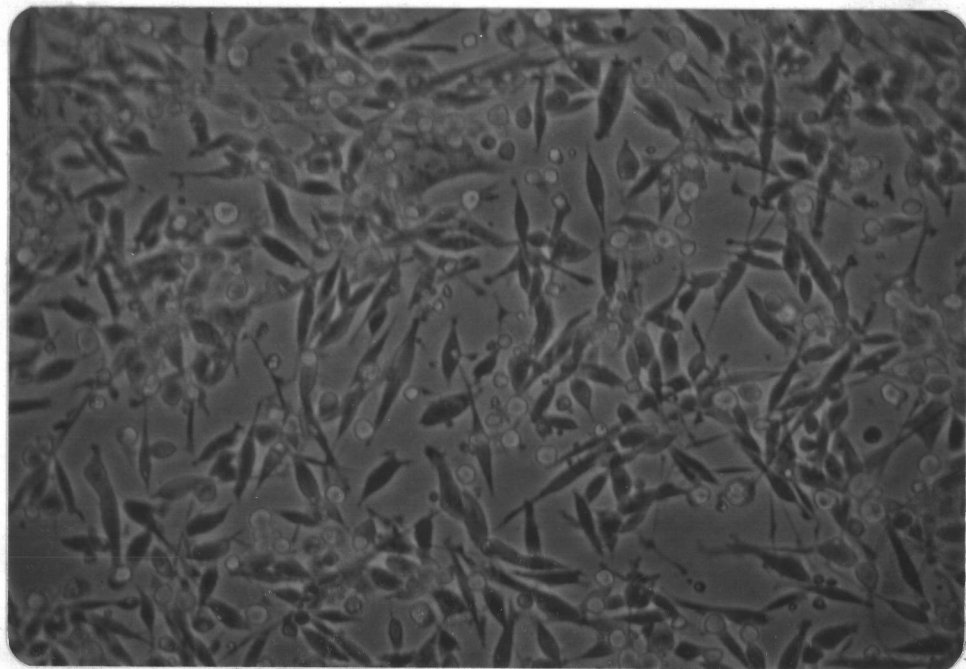
5. ศึกษาผลการรักษาของผู้ป่วย NPC 3 ราย โดยศึกษาระดับแอนติบอดี้ต่อ EBV associated antigens กับระยะเวลาหลังการรักษา (รูปที่ 13)

ผู้ป่วยชาย รายที่ 1 เป็น NPC ชนิด poorly differentiated cell carcinoma ระยะที่ II ตรวจแอนติบอดี้ครั้งแรกพบว่า Ig A เท่ากับ 1:20 และ Ig G เท่ากับ 1:160 ครั้งที่ 2 (11 เดือนต่อมา) หลังจากได้รับการรักษาโดย

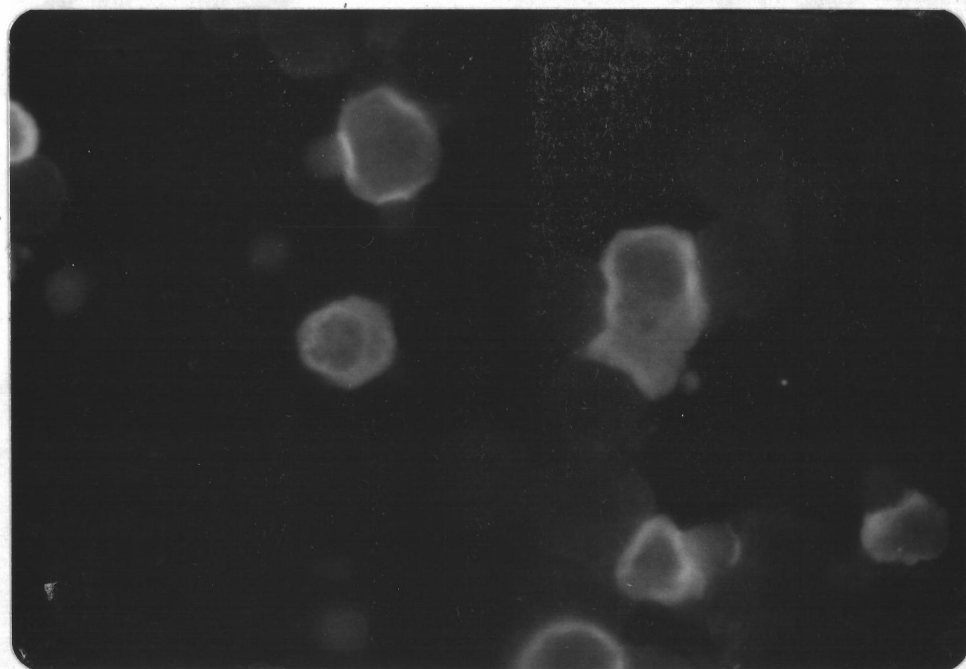
วิธีรังสีรักษาพบว่าแอนติบอดี้ชนิด Ig A ลดลงเหลือ 1:10 ครั้งครั้งที่ 3 (2 เดือนต่อมา) พบว่าแอนติบอดี้ชนิด Ig A ลดลงเหลือน้อยกว่า 1:10 พบว่าผู้ป่วยมีอาการดีขึ้นก็อย่างปานกลางและระบบการหายใจดีขึ้น ต่อมากลับป่วยมากขึ้นอีกเนื่องจากมีอาการของโรคชั้นมาอิก และตรวจหาแอนติบอดี้เป็นครั้งที่ 4 (8 เดือนต่อมา) พบว่าแอนติบอดี้ชนิด Ig A ต่อ EBV associated antigens เพิ่มขึ้นเป็น 1:20 ส่วนระดับแอนติบอดี้ชนิด Ig G ในทุกระยะที่ทำการตรวจหาไม่เปลี่ยนแปลง

ผู้ป่วยหญิง รายที่ 2 เป็น NPC ชนิด poorly differentiated cell carcinoma ระยะที่ III ตรวจแอนติบอดี้ครั้งแรกพบว่า Ig A เท่ากับ 1:160 Ig G เท่ากับ 1:320 ครั้งครั้งที่ 2 (4 เดือนต่อมา) หลังการรักษาโดยศัลป์เนื้อมะเร็งออก และรักษาด้วยวิธีรังสีรักษา พบว่าแอนติบอดี้ชนิด Ig A ลดลงเหลือ 1:40 ผู้ป่วยมีอาการดีขึ้นก็อย่างปานกลาง เดือดออกน้อยลงและระบบการหายใจดีขึ้น ครั้งครั้งที่ 3 (4 เดือนต่อมา) พบว่าแอนติบอดี้ชนิด Ig A เพิ่มขึ้นเป็น 1:160 และครั้งครั้งที่ 4 (9 เดือนต่อมา) แอนติบอดี้ชนิด Ig A เพิ่มขึ้นเป็น 1:320 ผู้ป่วยมีอาการของโรคชั้นมาอิก และกลับมารับการรักษาที่โรงพยาบาล พบว่าผู้ป่วยมี recurrent tumour ส่วนระดับแอนติบอดี้ชนิด Ig G ต่อ EBV associated antigens ไม่มีเปลี่ยนแปลงในทุกระยะที่ทำการตรวจหา

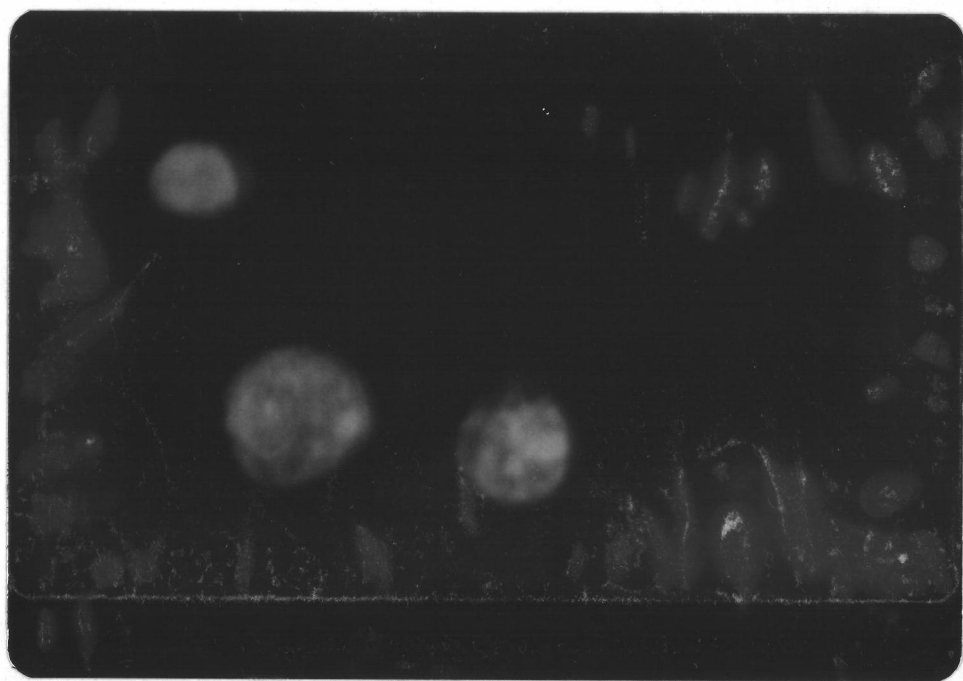
ผู้ป่วยชาย รายที่ 3 เป็น NPC ชนิด poorly differentiated cell carcinoma ระยะที่ II ตรวจแอนติบอดี้ครั้งแรกพบว่า Ig A เท่ากับ 1:40, Ig G เท่ากับ 1:160 ครั้งครั้งที่ 2 (2 เดือนต่อมา) หลังจากได้รับการรักษาด้วยวิธีรังสีรักษา พบว่าแอนติบอดี้ชนิด Ig A เพิ่มขึ้นเป็น 1:80 และแอนติบอดี้ชนิด Ig G เพิ่มขึ้นเป็น 1:160 ครั้งครั้งที่ 3 (2 เดือนต่อมา) พบว่าแอนติบอดี้ชนิด Ig A ลดลงเป็น 1:40 ส่วนระดับแอนติบอดี้ชนิด Ig G ยังคงทื่อยังและผู้ป่วยมีอาการดีขึ้นก็อย่างปานกลางและระบบการหายใจดีขึ้น



รูปที่ 5 แสดงลักษณะของเซลล์ B₉₅₋₈ ที่เพาะเลี้ยงในขวดแก้ว (x100)



รูปที่ 6 แสดงลักษณะของเซลล์ B₉₅₋₈ fluorescent positive cells
ที่เห็นคือสีบริเวณ cytoplasm (x400)

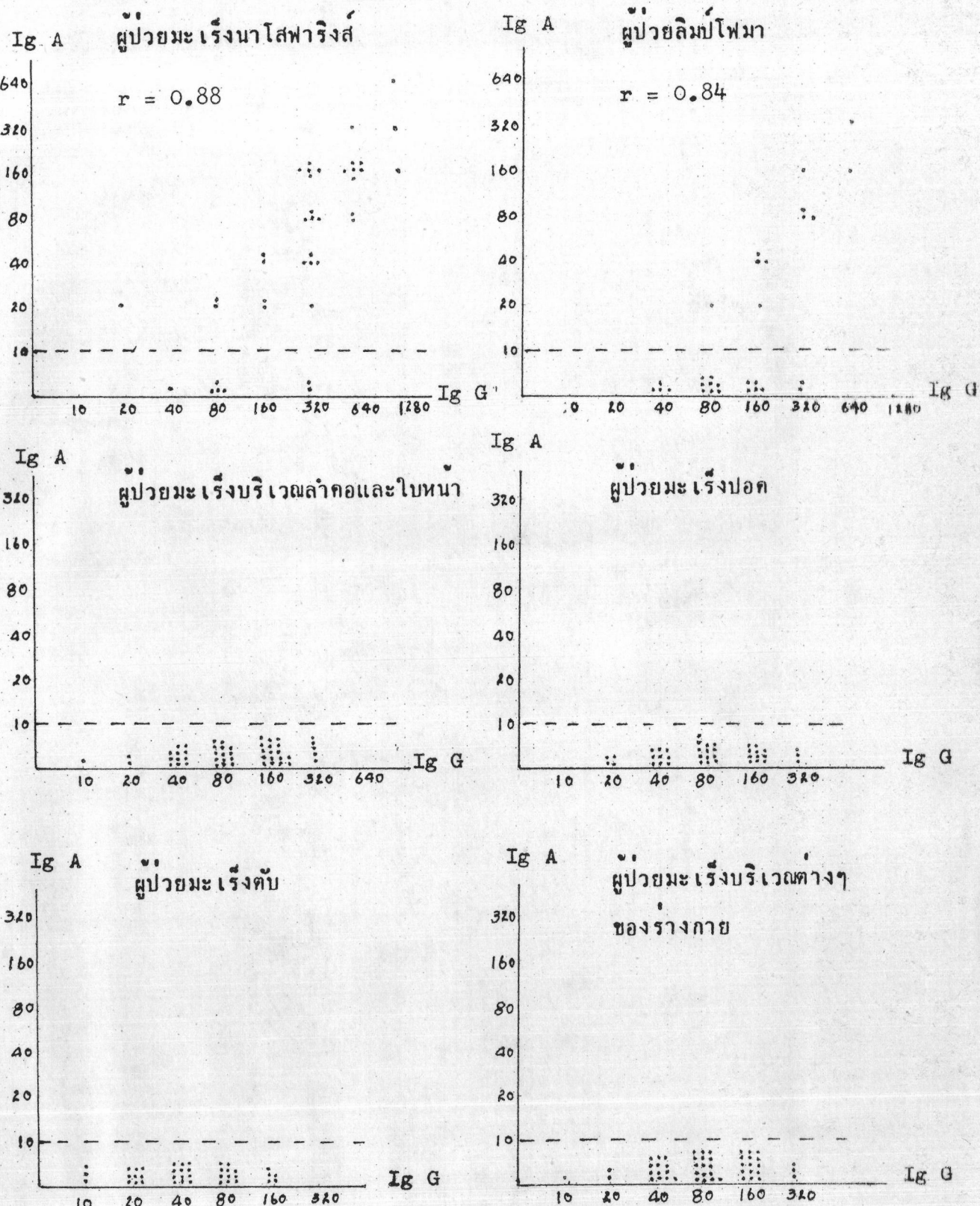


รูปที่ 7 แสดงลักษณะของเซลล์ B₉₅₋₈ fluorescent positive cells
ที่เห็นดิคสีฟ้า เซลล์ (x400)

ตารางที่ 2 แสดงระดับแอนติบอดี้ชนิด Ig G ต่อ EBV associated antigens ในชีรัมของผู้ป่วยมะเร็งและคนปกติ

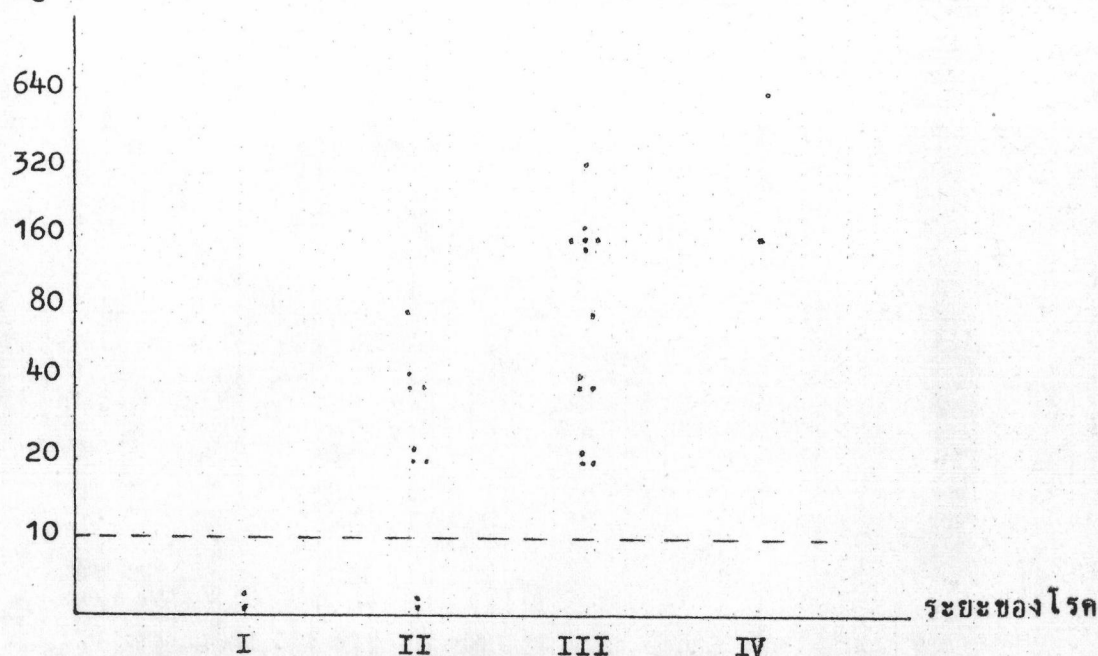
ผู้ป่วยมะเร็ง	จำนวนที่ให้ผลบวก [*] จำนวนทั้งหมด (%)	ระดับของแอนติบอดี้ชนิด Ig G ต่อ EBV							
		<1:10	1:10	1:20	1:40	1:80	1:160	1:320	≥1:640
นาโนสฟาริงส์	40 40 (100%)	0	0	1	1	6	4	16	9 3
ลิมป์โภมา	30 30 (100%)	0	0	0	4	9	9	6	2 0
สั่นกอและใบหน้า	50 50 (100%)	0	1	2	11	14	17	5	0 0
มะเร็งปอด	40 40 (100%)	0	0	4	9	13	11	3	0 0
มะเร็งเต้านม	40 40 (100%)	0	3	9	12	1	5	0	0 0
ส่วนอื่นของร่างกาย	50 50 (100%)	0	1	2	13	16	15	3	0 0
คนปกติ	50 50 (100%)	0	1	3	12	10	19	5	0 0

ตารางที่ ๓ แสดงระดับแอนติบอดี้ชนิด Ig A ต่อ EBV associated antigens ในชีรั่มของผู้ป่วยมะเร็งและคนปกติ



รูปที่ 8 แสดงความสัมพันธ์ระหว่างระดับของแอนติบอดี้ชนิด Ig G และแอนติบอดี้ชนิด Ig A กับ EBV associated antigens ในผู้ป่วยมะเร็งชนิดต่างๆ

Ig A



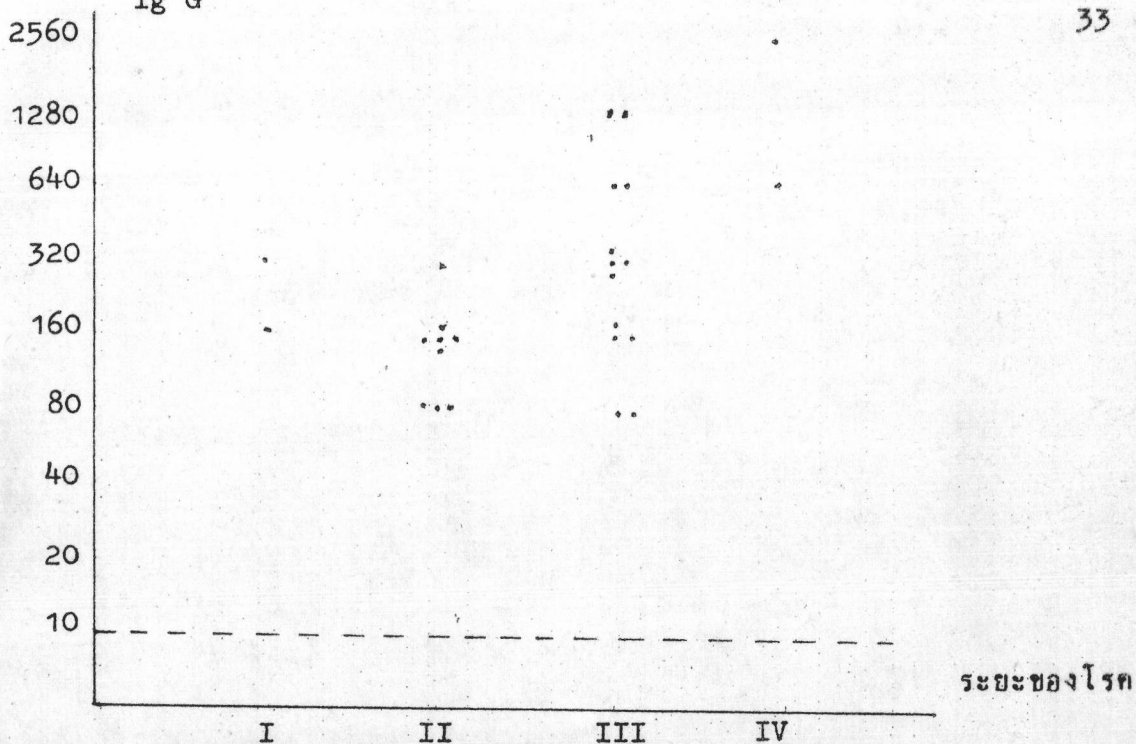
รูปที่ 9 แสดงความสัมพันธ์ระหว่างระดับแอนติบอดีชนิด Ig A ต่อ EBV associated antigens กับระยะของโรคในผู้ป่วย NPC

ตารางที่ 4 แสดงให้เห็นระดับแอนติบอดีชนิด Ig A ต่อ EBV associated antigens ในผู้ป่วย NPC ในระยะต่างๆของโรค

ระยะ ของโรค	ระดับของแอนติบอดีชนิด Ig A ต่อ EBV associated antigens								จำนวนผู้ป่วย ทั้งหมด
	<1:10	1:10	1:20	1:40	1:80	1:160	1:320	1:640	
I	2	0	0	0	0	0	0	0	2
II	2	0	3	3	1	0	0	0	9
III	0	0	3	3	1	5	1	0	13
IV	0	0	0	0	0	1	0	1	2
รวม	4	0	6	6	2	6	1	1	26

Ig G

33

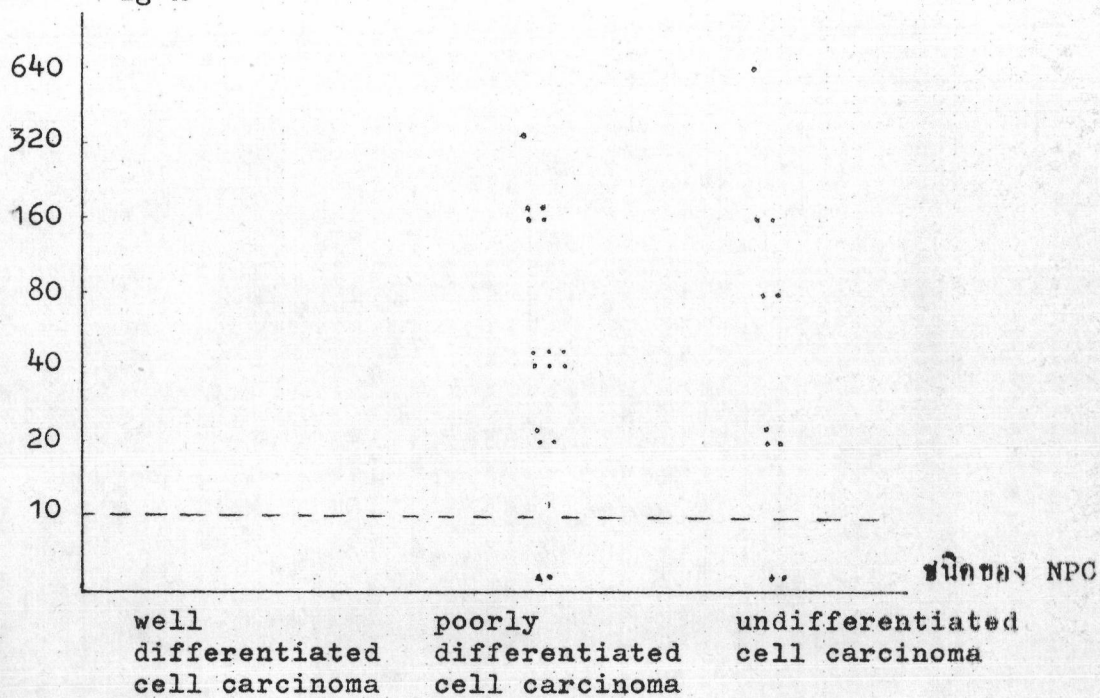


รูปที่ 10 แสดงความสัมพันธ์ระหว่างระดับแอนติบอดี้ชนิด Ig G ต่อ EBV associated antigens กับระยะของโรคในผู้ป่วย NPC

ตารางที่ 5 แสดงให้เห็นระดับแอนติบอดี้ชนิด Ig G ต่อ EBV associated antigens ในผู้ป่วย NPC ในระยะทางๆ ของโรค

ระยะ ของโรค	ระดับแอนติบอดี้ชนิด Ig G ต่อ EBV associated antigens										จำนวนผู้ป่วย ทั้งหมด
	1:10	1:10	1:20	1:40	1:80	1:160	1:320	1:640	1:1280	1:2560	
I	0	0	0	0	0	1	1	0	0	0	2
II	0	0	0	0	3	5	1	0	0	0	9
III	0	0	0	0	2	3	4	2	2	0	13
IV	0	0	0	0	0	0	0	1	0	1	2
รวม	0	0	0	0	5	9	6	3	2	1	26

Ig A

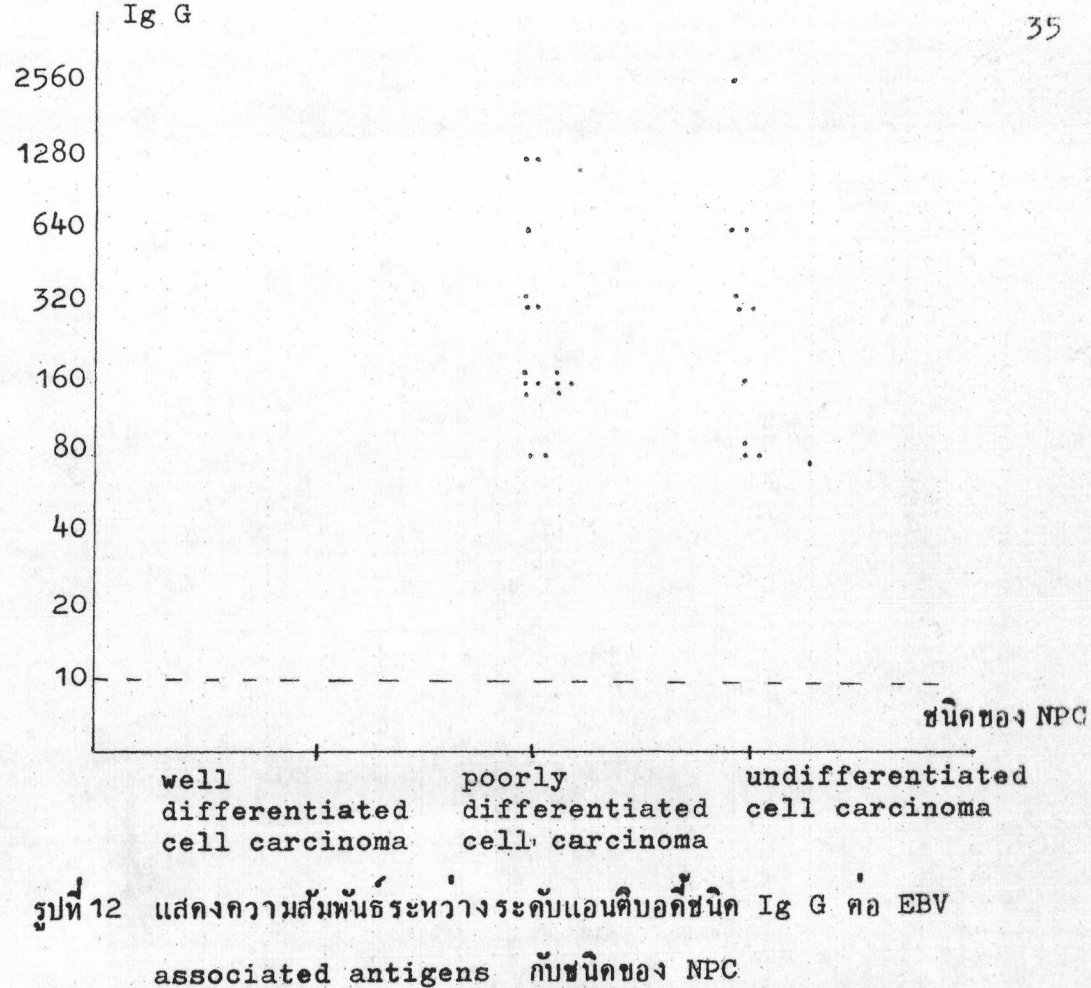


รูปที่ 11 แสดงความสัมพันธ์ระหว่างระดับแอนติบอดี้ชนิด Ig A กับ EBV

associated antigens กับชนิดของ NPC

ตารางที่ 6 แสดงระดับแอนติบอดี้ชนิด Ig A กับ EBV associated antigens ในผู้ป่วย NPC ชนิดต่างๆ

ชนิดของ NPC	ระดับของแอนติบอดี้ชนิด Ig A กับ EBV								จำนวนผู้ป่วย ทั้งหมด
	<1:10	1:10	1:20	1:40	1:80	1:160	1:320	1:640	
well differentiated cell carcinoma	0	0	0	0	0	0	0	0	0
poorly differentiated cell carcinoma	2	0	3	6	0	4	1	0	16
undifferentiated cell carcinoma	2	0	3	0	2	2	0	1	10
รวม	4	0	6	6	2	6	1	1	26

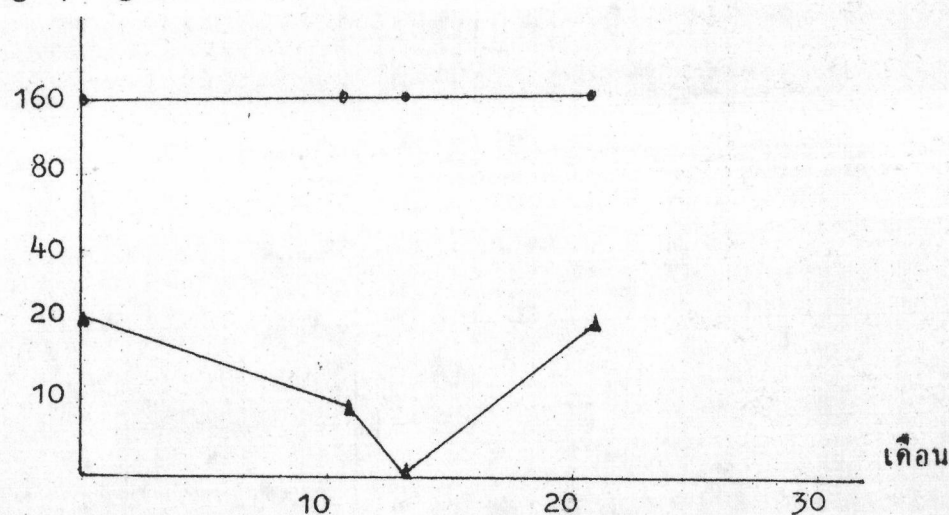


รูปที่ 12 แสดงความสัมพันธ์ระหว่างระดับแอนติบอดีชนิด Ig G ต่อ EBV associated antigens กับชนิดของ NPC

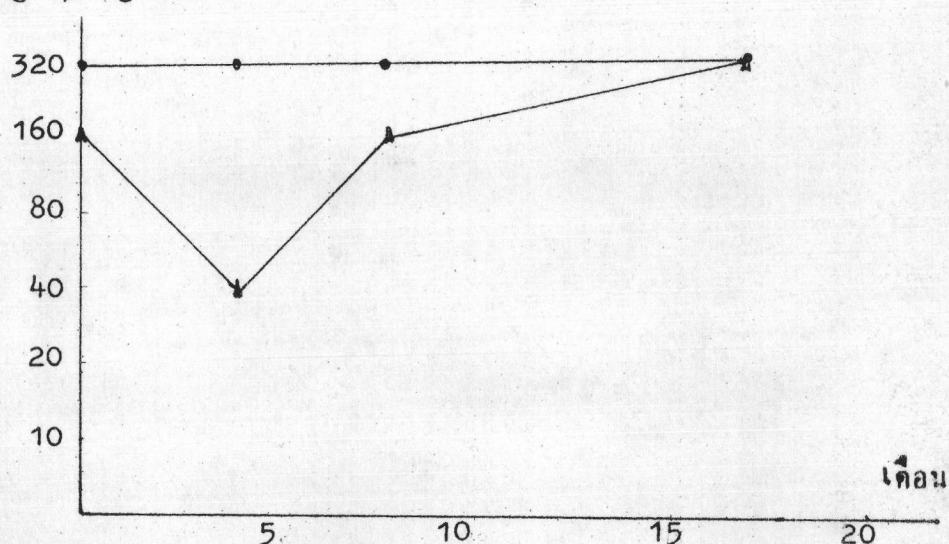
ตารางที่ 7 แสดงระดับแอนติบอดีชนิด Ig G ต่อ EBV associated antigens ในผู้ป่วย NPC ชนิดต่างๆ

ชนิดของ NPC	ระดับของแอนติบอดีชนิด Ig G ต่อ EBV											จำนวนผู้ป่วย ทั้งหมด
	<1:10	1:10	1:20	1:40	1:80	1:160	1:320	1:640	1:1280	1:2560		
well differentiated cell carcinoma	0	0	0	0	0	0	0	0	0	0	0	0
poorly differentiated cell carcinoma	0	0	0	0	2	8	3	1	2	0	16	
undifferentiated cell carcinoma	0	0	0	0	3	1	3	2	0	1	10	
รวม	0	0	0	0	5	9	6	3	2	1	26	

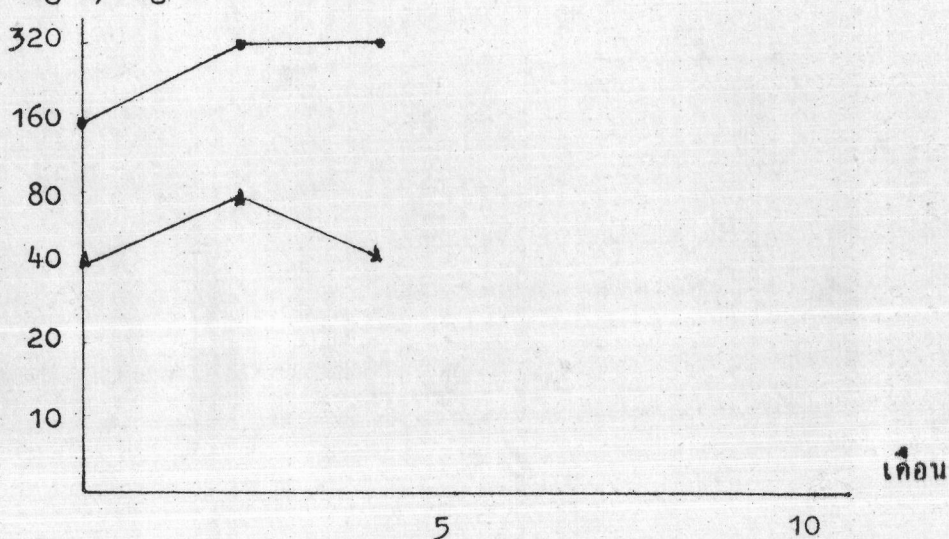
Ig G / Ig A

ผู้ป่วยรายที่ 1

Ig G / Ig A

ผู้ป่วยรายที่ 2

Ig G / Ig A

ผู้ป่วยรายที่ 3

รูปที่ 13 แสดงระดับ Ig G (●) และ Ig A (▲) ต่อ EBV

associated antigens ในผู้ป่วย NPC 3 รายก่อนและหลังการรักษา